

Conexion de CNC 2021

www.autocpge.info

Proposé par : A. OUAANABI

Exercice préliminaire

P1 - Régime de fonctionnement de AOP A1

L'AOP A1 présente une réaction négative \Rightarrow donc, il fonctionne en régime linéaire

P2 - Expression V_1

AOP A1 fonctionne en régime linéaire $\Rightarrow V^+ = V^-$

donc : $V^+ = V_e$ et $V^- = V_1$

Comme : $V^+ = V^- \Rightarrow V_1 = V_e$

P3 / Rôle du montage à AOP A1

le montage est le suiveur et leur rôle permet d'adopter l'impédance à fin d'isoler le circuit d'entrée " V_e " et la charge " V_1 "

P4 / Régime de fonctionnement AOP A2

L'AOP A2 fonctionne en régime linéaire car AOP A2 présente une réaction négative ($V_s \rightarrow "-"$)

P5 / Expression de V_{A2+}

Appliquons le théorème de Millman

$$V_{A2+} = \frac{\frac{V_s}{R_2} + \frac{V_{ref}}{R_1}}{\frac{1}{R_2} + \frac{1}{R_1}}$$

$$dnc : V_{A2-} = \frac{V_s \cdot R_1 + V_{ref} \cdot R_2}{R_1 + R_2}$$

P5 / Expression V_{A2+}

Appliquons le diviseur de tension :

$$V_{A2+} = V_1 \frac{R_4}{R_3 + R_4}$$

P7 - Expression de V_s

AOP A2 fonctionne en régime linéaire

$$\Rightarrow V^+ = V^-$$

$$d'où : \frac{V_s R_1}{R_1 + R_2} + \frac{V_{ref} R_2}{R_1 + R_2} = V_1 \frac{R_4}{R_3 + R_4}$$

dnc :

$$V_s = \frac{R_4}{R_1} \frac{R_1 + R_2}{R_3 + R_4} V_1 - \frac{R_2}{R_1} V_{ref}$$

P8 - Le rôle du montage A2

d'après l'expression de la question P7, le montage est en soustracteur

P9 - Expression de $V_s = f(V_e, V_{ref}, R_i)$

Comme : $V_1 = V_e$

d'où :

$$V_s = \frac{R_4}{R_1} \frac{R_1 + R_2}{R_3 + R_4} V_e - \frac{R_2}{R_1} V_{ref}$$

P10 / la relation pour avoir des résistances

Pour obtenir $V_s = 10 V_e - 10 V_{ref}$

$$\left\{ \frac{R_4}{R_1} \frac{R_1 + R_2}{R_3 + R_4} = 10 \right.$$

$$\left. \frac{R_2}{R_1} = 10 \Rightarrow R_2 = 10 R_1 \right.$$

$$\frac{R_4 R_1 + R_2}{R_1 R_3 + R_4} = 10$$

$$\Leftrightarrow \frac{R_4}{R_1} \frac{R_1 + 10R_1}{R_3 + R_4} = 10$$

$$\Leftrightarrow \frac{11R_4}{R_3 + R_4} = 10$$

d'où : $R_4 = 10R_3$

donc, la condition :

$$\left. \begin{array}{l} R_4 = 10R_3 \\ R_2 = 10R_3 \end{array} \right\}$$

Partie A : Etude de l'alimentot des vérous de positionnement des bro

Q₁ - la complémentarité des commandes T_1 et T_3 .

mons avons deux sources :

- si T_1 et T_3 sont fermés au même temps \Rightarrow alors on court-circuite la source d'entrée que ne doit être court-circuitée (source de tension)

- si T_1 et T_3 sont ouverts au même temps \Rightarrow alors, on ouvre la source de courant (LE), or que la source de courant ne doit pas être ouverte.

\Rightarrow d'où : les interrupteurs T_1 et T_3 doivent être commandés de façon complémentaire, le même aussi pour T_2 et T_4

Q₂ / Expression de courant $i_s(t)$

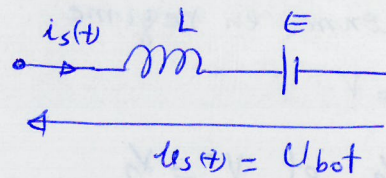
avant de faire cette quest, il faut connaître le sens de courant $\triangle!$

\Rightarrow on a le courant $i_s(t)$ varie entre deux valeurs positive I_{min} et I_{max}

d'où : $i_s(t) > 0$

pour $t \in [0, dT] \Rightarrow T_1$ et T_4 sont les deux interrupteurs qui posent

le courant $\Rightarrow u_s(t) = U_{bot}$



Eq. diff : $U_L(t) + E = u_s(t)$

$$\Leftrightarrow L \frac{di_s(t)}{dt} + E = U_{bot}$$

$$\Leftrightarrow \frac{di_s(t)}{dt} = \frac{U_{bot} - E}{L} > 0$$

+ Résolution lin de l'eq. diff.

$$i_s(t) = \frac{U_{bot} - E}{L} t + cte$$

• à $t=0 \Rightarrow i_s(0) = I_{min}$

$i_s(0) = 0 + cte = I_{min}$

d'où : $cte = I_{min}$

alors, l'expression de $i_s(t)$

$$i_s(t) = \frac{U_{bot} - E}{L} t + I_{min}$$

Q3 - le chronogramme pour $t \in [0, \alpha T]$

Expression des grandeurs :

* $V_1 = 0$ car T_1 fermé

* $U_s = U_{bot}$ car T_1 et T_4 sont fermés

* $i_1 = i_s(t)$ car T_1 ouverte

* $i_3 = 0$ car $\{T_3, D_3\}$ sont bloqués

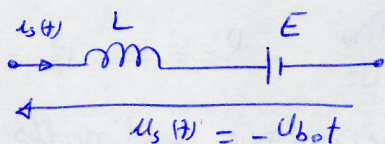
Voir DR

Q4) Expression de $i_s(t)$ pour $t \in [\alpha T, T]$

Pour $t \in [\alpha T, T]$ et que $i_s(t) > 0$

$\Rightarrow D_2$ et D_3 qui posent le courant

alors : $u_s(t) = -U_{bot}$



dnc : $L \frac{di_s(t)}{dt} + E = u_s(t) = -U_{bot}$

$\Rightarrow \frac{di_s(t)}{dt} = -\frac{U_{bot} + E}{L}$

$\Rightarrow i_s(t) = -\frac{U_{bot} + E}{L} t + cte$

à $t = \alpha T \Rightarrow i_s(\alpha T) = I_{max}$

$\hookrightarrow i_s(\alpha T) = -\frac{U_{bot} + E}{L} \alpha T + cte = I_{max}$

alors $cte = \frac{U_{bot} + E}{L} \alpha T + I_{max}$

* dnc : $i_s(t) = -\frac{U_{bot} + E}{L} t + \frac{U_{bot} + E}{L} \alpha T + I_{max}$

d'où :

$i_s(t) = -\frac{U_{bot} + E}{L} (t - \alpha T) + I_{max}$

Q5) le chronogramme pour $t \in [\alpha T, T]$

* $V_1 = U_{bot}$ car $U_{bot} = V_1 + V_3 \rightarrow$

* $U_s = -U_{bot}$

* $i_1 = 0$ car T_1 et D_1 sont bloqués

* $i_3 = -i_s(t)$ car D_3 ouverte

Voir DR

Q6 - la valeur moyenne de $u_s(t)$

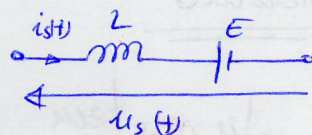
$\langle u_s(t) \rangle = U_{smoy} = \frac{\text{surface}}{T}$

$\Rightarrow U_{smoy} = \alpha U_{bot} - (1 - \alpha) U_{bot}$

dnc : $U_{smoy} = (2\alpha - 1) U_{bot}$

- la relation entre E et U_{bot}

d'après le schéma de charge :



dnc : $u_s(t) = V_L(t) + E$

$\Rightarrow \langle u_s(t) \rangle = \langle V_L(t) \rangle + \langle E \rangle$

$\Rightarrow (2\alpha - 1) U_{bot} = 0 + E$

⚠ la valeur moyenne aux bornes d'une inductance est nulle lorsque $i_s(t)$ est périodique.

d'où : $E = (2\alpha - 1) U_{bot}$

Q7 - le signe E en fonction α

d'après l'expression $E = (2\alpha - 1) U_{bot}$

* $E > 0$ si $\alpha > 0,5$

* $E < 0$ si $\alpha < 0,5$

* le sens de puissance

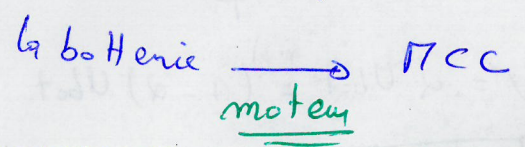
si on suppose le courant $i_s(t) = I_{smoy}$

donc la puissance électromagnétique de la MCC, s'exprime :

$$P_{em} = E \cdot I_{smoy} \quad \text{avec } I_{smoy} > 0$$

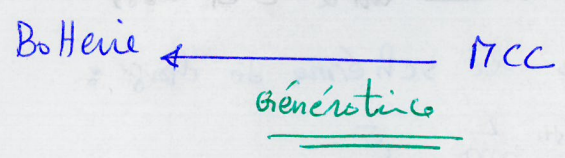
* Si $\alpha > 0,5 \Rightarrow E > 0 \Rightarrow P_{em} > 0$

Le sens de transfert



* Si $\alpha < 0,5 \Rightarrow E < 0 \Rightarrow P_{em} < 0$

Le sens de transfert



Partie B. Etude du moteur de déplacement du déambulateur

Q8 - la pulsation ω et la fréquence f des grandeurs statoriques.

On suppose que la synchronisme est garantie donc $n_s = N_s = N$

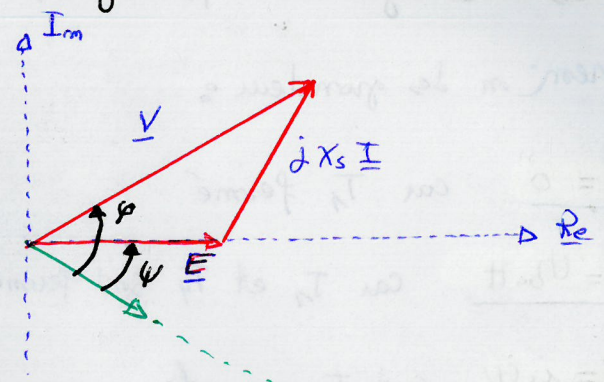
Par définition : $N_s = N = 60 \frac{f}{p}$

donc : $f = \frac{N p}{60} \Rightarrow f = 240 \text{ Hz}$

+ la pulsation ω

on a : $\omega = 2\pi \cdot f \Rightarrow \omega = 1507 \text{ rad/s}$

Q9 - Diagramme vectoriel



Q10. Puissance absorbée P_a

Par définit on : $P_a = 3 \cdot V \cdot I \cdot \cos \phi$

Pour l'exprimer en fct de E et ψ , on project \vec{V} et \vec{E} sur \vec{I} , et on trouve que : $V \cdot \cos \phi = E \cdot \cos \psi$

d'où : $P_a = 3 \cdot E \cdot I \cdot \cos \psi$

Q11 - le couple électromagnétique

Comme $C_{em} = \frac{P_{em}}{\Omega}$, $R=0 \Rightarrow P_{js}=0$

et les pertes mécanique sont nulles $P_{pm}=0 \Rightarrow C = C_{em}$ et $P_{em} = P_a$

alors : $C = \frac{P_a}{\Omega} = \frac{3 E \cdot I \cdot \cos \psi}{\Omega}$

on : $E = k \Omega$

d'où : $C = 3 \cdot k \cdot I \cdot \cos \psi = k_c \cdot I \cdot \cos \psi$

alors le valeur de k_c : $k_c = 3k$

$k_c = 0.0702 \text{ Nm/A}$

Q12 - la valeur ψ

on a : $C = k_c \cdot I \cdot \cos \psi \Rightarrow I = \frac{C}{k_c \cdot \cos \psi}$

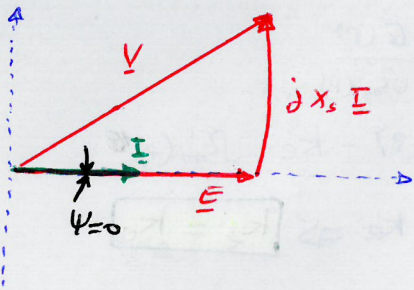
Pour minimiser I , il faut prendre $\cos \psi$

$\psi = 0$

Q13 / pour $\psi=0$, $I=2A$ et $n=4000$ tr/min

* la tension simple efficace V .

pour répondre à cette question, il faut tracer à nouveau le diagramme de Fresnel pour $\psi=0$



à partir de ce diagramme :

$$V = \sqrt{E^2 + (X_s \cdot I)^2}$$

avec :

$$X_s = L \cdot \omega \quad \text{avec } \omega = 2\pi f$$

$$= L \cdot 2\pi \cdot f \quad \text{sochant que } N = 60 \frac{f}{P}$$

$$\hookrightarrow f = \frac{N \cdot P}{60}$$

$$X_s = L \cdot 2\pi \cdot \frac{N \cdot P}{60} \Rightarrow X_s = 3.52 \Omega$$

$$E = k \cdot \Omega = k \cdot \frac{2\pi \cdot N}{60} \Rightarrow E = 3.8 V$$

$$\text{d'où : } V = 12.06 V$$

* le couple C pour $\psi=0$

$$\text{on a : } C = k_c \cdot I \cdot \cos \psi$$

$$\psi=0 \Rightarrow C = k_c \cdot I$$

$$\hookrightarrow C = 0.14 Nm$$

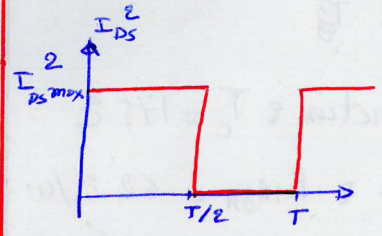
Partie C : Calcul des pertes et dimensionnement thermique des transistors

Q14. Expression de P_{cond}

$$\text{on a : } P_{cond} = R_{DS} \cdot I_{DS\text{eff}}^2$$

On calcule le courant efficace :

$$I_{DS} \text{ si forme carré } \Rightarrow I_{DS\text{eff}} = \sqrt{\langle I_{DS}^2 \rangle}$$



$$\langle I_{DS}^2 \rangle = \frac{\text{surface}}{T}$$

$$\Rightarrow \langle I_{DS}^2 \rangle = \frac{I_{DS\text{max}}^2 \times \frac{T}{2}}{T} = \frac{I_{DS\text{max}}^2}{2}$$

d'où :

$$I_{DS\text{eff}} = \sqrt{\langle I_{DS}^2 \rangle} \Rightarrow I_{DS\text{eff}} = \frac{I_{DS\text{max}}}{\sqrt{2}}$$

⇒ alors la puissance des pertes de conduct

$$P_{cond} = R_{DS} \cdot I_{DS\text{eff}}^2$$

$$\Rightarrow P_{cond} = R_{DS} \cdot \frac{I_{DS\text{max}}^2}{2}$$

Q15 / la valeur P_{cond} si $I_{DS\text{max}} = 2A$

$$\text{on a : } P_{cond} = R_{DS} \cdot \frac{I_{DS\text{max}}^2}{2} \Rightarrow P_{cond} = 0.4 W$$

avec : $R_{DS} = 0.20 \Omega$

voir Annexe

Q16. la puissance totale dissipée par le transistor.

puisque les pertes par conduct et les pertes par commutateur sont égales : $P_{cond} = P_{com}$

$$P_{tot} = P_{cond} + P_{com} = 2 \cdot P_{cond}$$

$$\Rightarrow P_{tot} = 2 \cdot P_{cond} \Rightarrow P_{tot} = 0.8 W$$

Q17. la puissance maximale dissipable par le transistor sans radiateur

$$\text{on a : } T_j - T_A = R_{th,JA} \times P_D$$

donc: $P_D = \frac{T_j - T_A}{R_{thJA}}$

d'après le document constructeur de

IRF214 en annexe: $\frac{1}{2}$

- température de jonction: $T_j = 175^\circ C$
- Résistance thermique: $R_{thJA} = 62^\circ C/W$

d'où: $P_D = 2.17 W$

Q18 - la nécessité d'un dissipateur thermique:

Puisque $P_{tot} < P_D$, donc, il n'est pas nécessaire de monter un dissipateur thermique (radiateur)

Partie D: Assouplissement de la vitesse de déplacement du robot

Q19? la transformée de Laplace.

* $U_m(p) = R I(p) + L.p. I(p) + E(p)$

* $J_{eq}.p. \Omega_m(p) = C_m(p) - C_{reg}(p)$

* $E(p) = k_e. \Omega_m(p)$

* $C_m(p) = k_T. I(p)$

Q20 - Expression de transfert de schéma de modèle MS.

* Bloc H1

on a d'après le schéma: $H_1 = \frac{I(p)}{U_m(p) - E(p)}$

\hookrightarrow on a: $U_m(p) = R. I(p) + L.p. I(p) + E(p)$

$\Leftrightarrow I(p)(R + L.p) = U_m(p) - E(p)$

$\Leftrightarrow \frac{I(p)}{U_m(p) - E(p)} = \frac{1}{R + L.p}$

d'où: $H_1(p) = \frac{1}{R + L.p}$

* Bloc K1

on a d'après le modèle: $k_1 = \frac{C_m(p)}{I(p)}$

donc: $C_m(p) = k_T. I(p)$

$\Leftrightarrow \frac{C_m(p)}{I(p)} = k_T \Rightarrow k_1 = k_T$

* Bloc K2

on a: $k_2 = \frac{E(p)}{\Omega_m(p)}$

et que: $E(p) = k_e. \Omega_m(p)$

$\Leftrightarrow \frac{E(p)}{\Omega_m(p)} = k_e \Rightarrow k_2 = k_e$

* Bloc H2

on a $H_2(p) = \frac{\Omega_m(p)}{C_m(p) - C_{reg}(p)}$

et que: $J_{eq}.p. \Omega_m(p) = C_m(p) - C_{reg}(p)$

$\Leftrightarrow \frac{\Omega_m(p)}{C_m(p) - C_{reg}(p)} = \frac{1}{J_{eq}.p}$

$\Rightarrow H_2(p) = \frac{1}{J_{eq}.p}$

Q21 / Expression de $\Omega_m(p) = f(U_m, C_{reg})$

la vitesse $\Omega_m(p)$ peut être exprimée:

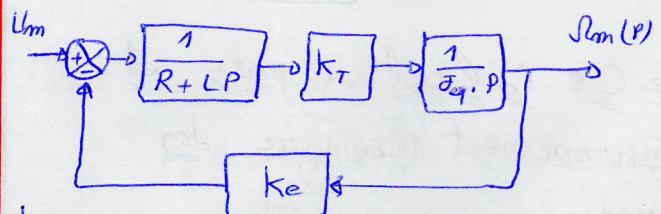
$\Omega_m(p) = H_a(p). U_m(p) + H_b(p). C_{reg}(p)$

avec:

* $H_a(p) = \frac{\Omega_m(p)}{U_m(p)} \Big|_{C_{reg}=0}$ d'après le théorème de

* $H_b(p) = \frac{\Omega_m(p)}{C_{reg}(p)} \Big|_{U_m=0}$ superposition

* Expression de $H_a(p) \Rightarrow C_{reg} = 0$
le schéma bloc devient



d'où:

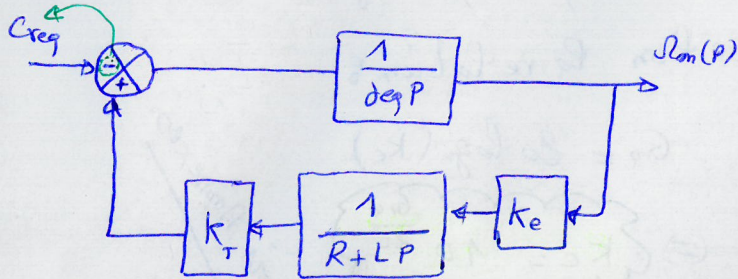
$H_a(p) = \frac{\Omega_m(p)}{U_m(p)} = \frac{k_T}{1 + \frac{k_e. k_T}{J_{eq}.p. (R + L.p)}}$

$$H_q(p) = \frac{k_T}{j\omega_p \cdot P \cdot (R+LP) + k_e \cdot k_T}$$

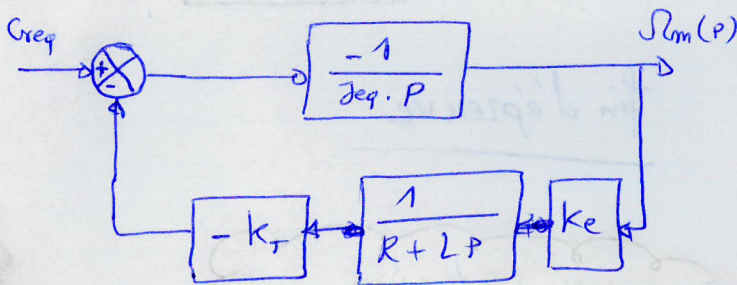
$$d'où : H_q(p) = \frac{k_T}{j\omega_p \cdot L \cdot p^2 + R j\omega_p + k_e \cdot k_T}$$

* Expression de $H_b(p) \Rightarrow \Omega_m(p) = 0$

Le schéma devient :



↓ simplification



donc :

$$H_b(p) = \frac{\Omega_m(p)}{C_{reg}(p)} = \frac{-\frac{1}{j\omega p}}{1 + \frac{k_e k_T}{j\omega_p \cdot (R+LP)}}$$

d'où

$$H_b(p) = \frac{-(R+LP)}{j\omega_p \cdot L \cdot p^2 + j\omega_p \cdot R \cdot p + k_e \cdot k_T}$$

donc :

$$\Omega_m(p) = \frac{k_T}{D(p)} \cdot U_m(p) - \frac{R+LP}{D(p)} \cdot C_{reg}(p)$$

$$avec : D(p) = j\omega_p \cdot L \cdot p^2 + j\omega_p \cdot R \cdot p + k_e \cdot k_T$$

Q22 - la valeur de Ω_m en régime permanent.

Régime permanent \Rightarrow la valeur finale

la question sert à calculer la valeur finale à l'échelle :

$$U_m(p) = \frac{U_m}{p}, \quad C_{reg}(p) = \frac{C_{reg}}{p}$$

• la valeur finale :

$$\Omega_m = \lim_{p \rightarrow 0} p \cdot \Omega_m(p)$$

$$\Rightarrow \Omega_m = \lim_{p \rightarrow 0} p \cdot \left[\frac{k_T}{D(p)} \cdot \frac{U_m}{p} - \frac{R+LP}{D(p)} \cdot \frac{C_{reg}}{p} \right]$$

$$= \lim_{p \rightarrow 0} \frac{k_T \cdot U_m}{D(p)} - \frac{R+LP}{D(p)} \cdot C_{reg}$$

$$\Omega_m = \frac{k_T \cdot U_m}{D(0)} - \frac{R}{D(0)} \cdot C_{reg}$$

$$\text{car : } D(0) = k_e k_T$$

$$\text{donc : } \Omega_m = \frac{U_m}{k_e} - \frac{R}{k_e \cdot k_T} \cdot C_{reg}$$

Q23 - le système est sensible aux perturbations, si le couple résistant augmente, la vitesse diminue

Q24 - Q25 - la tension U_m en fonction de vitesse.

$$\text{on a : } \Omega_m = \frac{U_m}{k_e} - \frac{R}{k_e k_T} \cdot C_{reg}$$

$$\Rightarrow U_m = k_e \left[\Omega_m + \frac{R}{k_e \cdot k_T} C_{reg} \right]$$

$$\bullet \Omega_m = 514.43 \text{ rad/s} \Rightarrow U_m = 13.20 \text{ V}$$

$$\bullet \Omega_m = 257.27 \text{ rad/s} \Rightarrow U_m = 7.18 \text{ V}$$

Q26 / Eneue stologie Es

• on a la fonction de transfert en Boucle ouverte :

$$FTBO(p) = C(p) \cdot H_m(p) \cdot r \cdot \frac{D}{2}$$

$$= K_c \frac{1 + T_i p}{T_i p} \cdot \frac{K_m \cdot r \cdot D/2}{(1 + \tau_1 p)(1 + \tau_2 p)}$$

donc, on remarque que FTBO possède une intégration ($\frac{1}{p}$) $\Rightarrow \epsilon_s = 0$

Q27 - fonction de transfert en Boucle ouverte.

comme $T_i = \tau_2$

$$\Rightarrow H_{BO}(p) = K_c \frac{1 + \tau_2 p}{\tau_2 p} \frac{K_m \cdot r \cdot D/2}{(1 + \tau_1 p)(1 + \tau_2 p)}$$

$$\Rightarrow H_{BO}(p) = K_c \cdot \frac{K_m \cdot r \cdot D/2}{\tau_2 p (1 + \tau_1 p)}$$

$$\Rightarrow H_{BO}(p) = K_c \cdot R(p)$$

avec $R(p) = \frac{K_m \cdot r \cdot D/2}{\tau_2 p (1 + \tau_1 p)}$

Q28 - la valeur de K_c pour avoir une marge de phase 45°

la détermination de la valeur de K_c s'effectue de manière graphique en suivant les étapes suivantes :

1 - Identifier la phase qui procurera une marge de phase 45°

$$MP = 45^\circ \Rightarrow \varphi = -135^\circ$$

2 - Tracer la marge de phase (en rouge) à la pulsation $\omega_P = 700 \text{ rad/s}$

3 - projeter sur le diagramme de gain

4. Mesurer le gain G_g à ajouter pour aligner le diagramme de gain 0dB (en vert) $\Rightarrow G_g = 0 - 74.11 = 74.11 \text{ dB}$

En conséquence, le gain K_c est calculé selon la relation :

$$G_g = 20 \log(K_c)$$

$$\Rightarrow K_c = 10^{\frac{G_g}{20}}$$

Voir Annexe

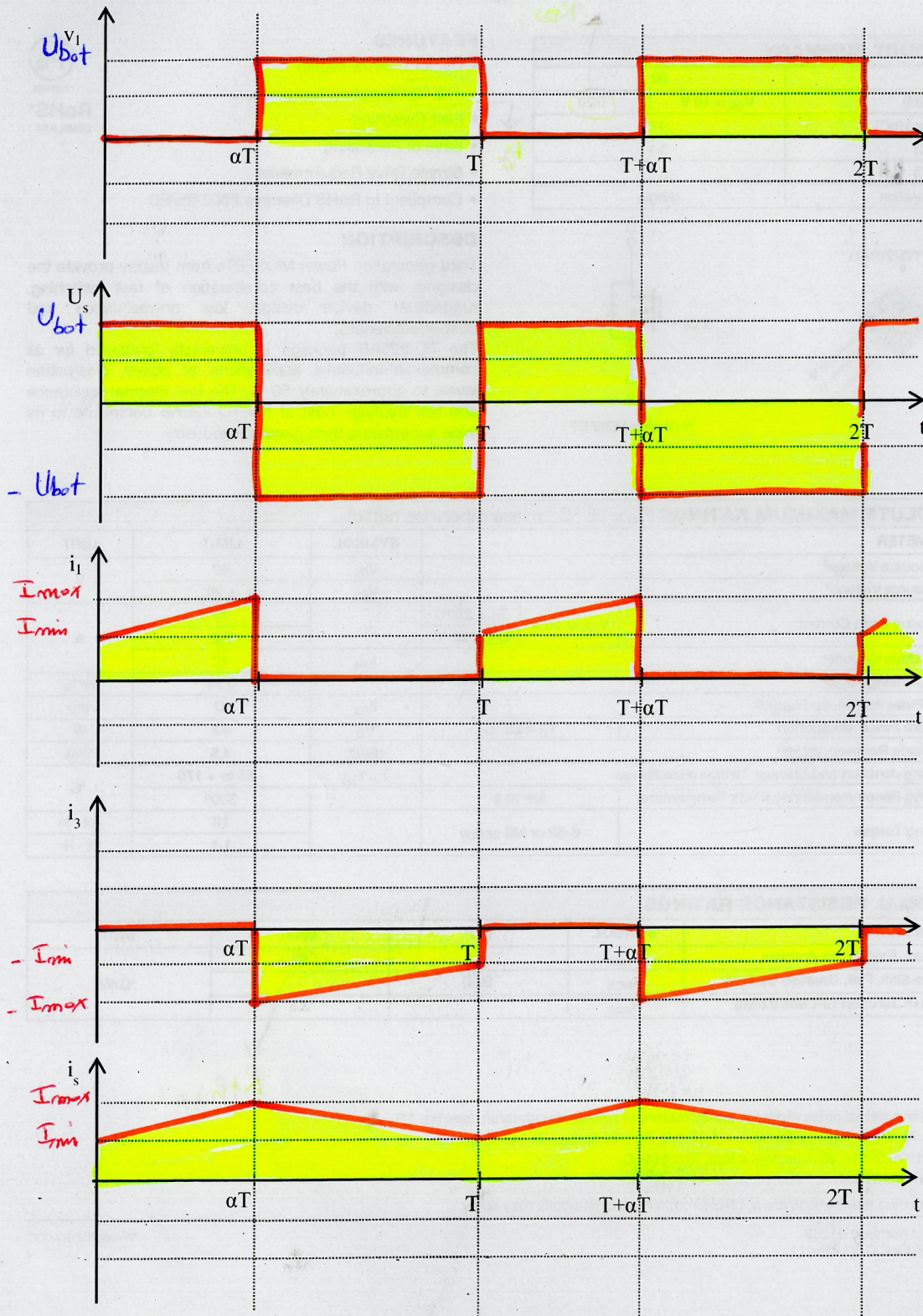
$$G_g = 74.11 \text{ dB} \Rightarrow K_c \approx 5075$$

fin d'épreuve

www.autopage.info

Ne rien écrire dans ce cadre

Document-Réponse 1. (Figure 10 : Chronogramme)



Annexe 1 : Document constructeur du transistor T1



IRFZ14, SiHFZ14

Vishay Siliconix

Power MOSFET

PRODUCT SUMMARY	
V_{DS} (V)	60
$R_{DS(on)}$ (Ω)	$V_{GS} = 10\text{ V}$ 0.20
Q_g (Max.) (nC)	11
Q_{gs} (nC)	3.1
Q_{gd} (nC)	5.8
Configuration	Single

FEATURES

- Dynamic dV/dt Rating
- 175 °C Operating Temperature
- Fast Switching
- Ease of Paralleling
- Simple Drive Requirements
- Compliant to RoHS Directive 2002/95/EC



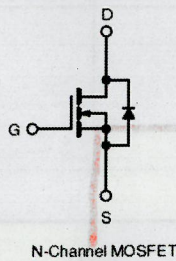
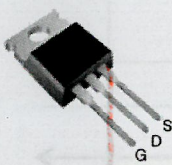
RoHS* COMPLIANT

DESCRIPTION

Third generation Power MOSFETs from Vishay provide the designer with the best combination of fast switching, ruggedized device design, low on-resistance and cost-effectiveness.

The TO-220AB package is universally preferred for all commercial-industrial applications at power dissipation levels to approximately 50 W. The low thermal resistance and low package cost of the TO-220AB contribute to its wide acceptance throughout the industry.

TO-220AB



N-Channel MOSFET

ABSOLUTE MAXIMUM RATINGS ($T_C = 25\text{ }^\circ\text{C}$, unless otherwise noted)					
PARAMETER		SYMBOL	LIMIT	UNIT	
Drain-Source Voltage ^f		V_{DS}	60	V	
Gate-Source Voltage ^f		V_{GS}	± 20		
Continuous Drain Current	V_{GS} at 10 V	I_D	$T_C = 25\text{ }^\circ\text{C}$	10	A
			$T_C = 100\text{ }^\circ\text{C}$	7.2	
Pulsed Drain Current ^g		I_{DM}	40		
Linear Derating Factor			0.29	W/ $^\circ\text{C}$	
Single Pulse Avalanche Energy ^b		E_{AS}	47	mJ	
Maximum Power Dissipation	$T_C = 25\text{ }^\circ\text{C}$	P_D	43	W	
Peak Diode Recovery dV/dt ^c		dV/dt	4.5	V/ns	
Operating Junction and Storage Temperature Range		T_J, T_{stg}	- 55 to + 175	$^\circ\text{C}$	
Soldering Recommendations (Peak Temperature)	for 10 s		300 ^d		
Mounting Torque	6-32 or M3 screw		10	lbf · in	
			1.1	N · m	

THERMAL RESISTANCE RATINGS				
PARAMETER	SYMBOL	TYP.	MAX.	UNIT
Maximum Junction-to-Ambient	$R_{\theta JA}$		62	$^\circ\text{C/W}$
Case-to-Sink, Flat, Greased Surface	$R_{\theta CS}$	0.50		
Maximum Junction-to-Case (Drain)	$R_{\theta JC}$		3.5	

Notes

- Repetitive rating; pulse width limited by maximum junction temperature (see fig. 11).
- $V_{DD} = 25\text{ V}$; starting $T_J = 25\text{ }^\circ\text{C}$, $L = 1.47\text{ mH}$, $R_g = 25\text{ }\Omega$, $I_{AS} = 8\text{ A}$ (see fig. 12).
- $I_{SD} \leq 10\text{ A}$, $dI/dt \leq 90\text{ A}/\mu\text{s}$, $V_{DD} \leq V_{DS}$, $T_J \leq 175\text{ }^\circ\text{C}$.
- 1.6 mm from case.

* Pb containing terminations are not RoHS compliant, exemptions may apply

Document Number: 91289
S11-0517-Rev. C, 21-Mar-11

www.vishay.com

Annexe 2 : Diagrammes de Bode de R(P)

